

Аналитическое решение для повышающего преобразователя постоянного напряжения и сравнение аналитического решения с моделями MATLAB и ngspice

М. Аднан¹, Б. С. Барнабас²,
Н. Коирала³, А. Н. Прокшин⁴

Санкт-Петербургский государственный
электротехнический университет
«ЛЭТИ» им. В.И. Ульянова (Ленина)

¹madnan@stud.etu.ru, ²barnabassimon486@gmail.com,
³nkoirala@stud.etu.ru, ⁴anprokshin@etu.ru

Г. А. Карпов
Университет ИТМО
sor1124@yandex.ru

П. Нироула
Лундский университет
pr8423ni-s@student.lu.se

Аннотация. Представлены аналитические, т.е. точные, решения уравнений для повышающего преобразователя без обратной связи. Эти решения позволяют прогнозировать реакцию системы на начальные условия. Получены выражения для периода колебаний и декремента затухания. Проведено сравнение аналитических решений для повышающего преобразователя без обратной связи с результатами моделирования в программах MATLAB и ngspice.

Ключевые слова: повышающий преобразователь постоянного напряжения, аналитическое решение, период колебаний, коэффициент затухания, моделирование ngspice

I. ВВЕДЕНИЕ

Рассматриваем повышающий преобразователь постоянного напряжения в схеме, приведенной на рис. 1, и приведем аналитическое решение в режиме непрерывного тока через дроссель. Решены дифференциальные уравнения для тока i через дроссель L и напряжения на нагрузке R и конденсаторе C с начальными условиями для двух стадий: первая – когда ключ S разомкнут и вторая – когда ключ S замкнут.

Стадии повторяются с периодом T . Протяженность первой стадии γT , второй – $(1 - \gamma)T$. Из дифференциальных уравнений получены зависимости для значений токов и напряжений в момент времени nT от предыдущего момента времени $(n-1)T$. Полученное разностное уравнение для дискретной функции решено аналитически с помощью дискретного преобразования Лапласа.

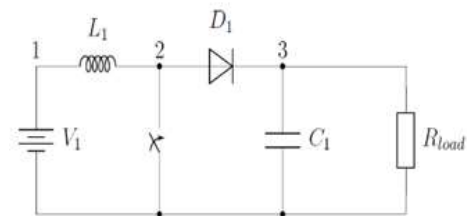


Рис. 1. Схема повышающего преобразователя постоянного напряжения

II. МЕТОД ДИСКРЕТНОГО ПРЕОБРАЗОВАНИЯ ЛАПЛАСА ДЛЯ ПОВЫШАЮЩЕГО ПРЕОБРАЗОВАТЕЛЯ

Стадия 1: Когда ключ S открыт, схема повышающего преобразователя выглядит, как показано на рис. 2.

Имеем,

$$U_1 = L \frac{\partial i}{\partial t} + Ri_1$$

Здесь, R – сопротивление нагрузки; L – индуктивность дросселя; C – емкость фильтра; t – мгновенное время; i – ток через дроссель; i_1 – ток через нагрузку; i_2 – ток через конденсатор.

Начальные условия в момент $t=0$

$$\begin{aligned} i_1(0) &= i_{10} \\ i_2(0) &= i_{20} \end{aligned}$$

Неоднородная часть уравнения принимается равной константе:

$$u = \text{const}$$

Для упрощения выражений введем α и ω :

$$\alpha = \frac{1}{2RC} \quad \omega = \sqrt{\left(\frac{1}{2RC}\right)^2 - \frac{1}{LC}}$$

Вычтя постоянную часть, вводим переменные:

$$\tilde{i}_1(t) = i_1(t) - \frac{U}{R}, \tilde{i}(t) = i(t) - \frac{U}{R}$$

Решения уравнений для стадии 1 получаем в виде:

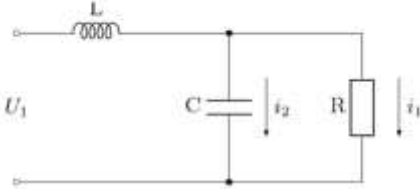


Рис. 2. Схема повышающего преобразователя при открытом ключе S

Стадия 2: Когда ключ S замкнут, диод D разделяет исходную схему на две части и схема выглядит как на рис. 3. Для левой части схемы уравнения для интервала $(n+\gamma)T \leq t \leq (n+1)T$, где n = номер последовательного интервала, $\gamma = 1-D$ где D скважность, T = период ШИМ:

$$RC \frac{dU_C}{dt} + U_C = 0$$

Решение этого уравнения в непрерывном времени:

$$i_1(t) = i_1(n + \gamma) e^{-\frac{1}{RC}t}$$

В дискретные моменты имеем решение:

$$i_1(n + 1) = i_1(n + \gamma) e^{-\frac{1}{RC}(1-\gamma)T}$$

Для правой части схемы на рис. 3, имеем уравнения:

$$U = L \frac{di}{dt}$$

Решения этого уравнения:

$$i(t) = i(n+\gamma) + \frac{U}{L} \cdot t$$

Зависимость значений токов в момент времени nT от предыдущего момента времени $(n-1)T$ приведена ниже:

$$\begin{aligned} \bar{i}[n+1] &= \frac{U}{L} \cdot (1-\gamma)T + \frac{e^{-\alpha\gamma T}}{\omega} [\bar{i}_1[n] (\omega \cos(\omega\gamma T) + \\ &\frac{\alpha^2 - \omega^2}{2\alpha} \sin(\omega\gamma T)) + i_2[n] (\omega \cos(\omega\gamma T) + \alpha \sin(\omega\gamma T))] = \\ &\frac{U}{L} \cdot (1-\gamma)T + \\ &\frac{e^{-\alpha\gamma T}}{\omega} [\bar{i}_1[n] (\omega \cos(\omega\gamma T) + \frac{\alpha^2 - \omega^2}{2\alpha} \sin(\omega\gamma T)) + (\bar{i}[n] - \\ &\bar{i}_1[n]) (\omega \cos(\omega\gamma T) + \alpha \sin(\omega\gamma T))] \end{aligned}$$

$$\begin{aligned} \bar{i}_1[n+1] + \frac{U}{R} &= \\ &(\frac{e^{-\alpha\gamma T}}{\omega} [\bar{i}_1[n] (\omega \cos(\omega\gamma T) + \alpha \sin(\omega\gamma T)) + \\ &i_2[n] 2\alpha \sin(\omega\gamma T)] + \frac{U}{R}) e^{-\frac{(1-\gamma)T}{RC}} = \\ &\frac{e^{-\alpha\gamma T} \frac{(1-\gamma)T}{RC}}{\omega} [\bar{i}_1[n] (\omega \cos(\omega\gamma T) + \alpha \sin(\omega\gamma T)) + (\bar{i}[n] - \\ &\bar{i}_1[n]) (2\alpha \sin(\omega\gamma T)) + \frac{U}{R} e^{-\frac{(1-\gamma)T}{RC}} \end{aligned}$$

Имея зависимости для дискретных моментов времени используем дискретное преобразование Лапласа $D\{f(n)\}$.

По теореме сдвига

$$D\{i[n+1]\} = e^q I^*(q) - e^q i[0]$$

$$D\{i_1[n+1]\} = e^q I_1^*(q) - e^q i_1[0]$$

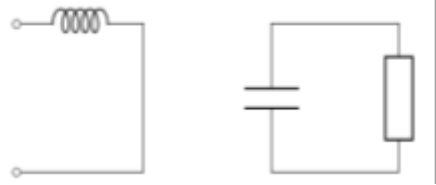


Рис. 3. Схема повышающего преобразователя при замкнутом ключе S

В области изображений q после прямого дискретного преобразования Лапласа получаем алгебраические уравнения:

$$\begin{aligned} e^q I^*(q) - e^q i[0] - \frac{U}{L} \cdot (1-\gamma)T \frac{e^q}{e^q - 1} \\ = \frac{e^{-\alpha\gamma T}}{\omega} \left[-\tilde{I}_1^*(q) \frac{\alpha^2 + \omega^2}{2\alpha} \sin(\omega\gamma T) \right. \\ \left. + I^*(q) (\omega \cos(\omega\gamma T) + \alpha \sin(\omega\gamma T)) \right] \end{aligned}$$

$$e^q \tilde{I}_1^*(q) - e^q i_1[0] + \frac{U}{R} \left(1 - e^{-\frac{(1-\gamma)T}{RC}} \right) \frac{e^q}{e^q - 1} =$$

$$\frac{e^{-\alpha\gamma T} \frac{(1-\gamma)T}{RC}}{\omega} \left(\tilde{I}_1^*(q) (\omega \cos(\omega\gamma T) + \alpha \sin(\omega\gamma T)) + \right. \\ \left. (I^*(q) - \tilde{I}_1^*(q)) \cdot 2\alpha \sin(\omega\gamma T) \right)$$

Переведем уравнения в матричную форму

$$\begin{bmatrix} A & B \\ C & D \end{bmatrix} \times \begin{bmatrix} I^*(q) \\ \tilde{I}_1^*(q) \end{bmatrix} = \begin{bmatrix} X \\ Y \end{bmatrix} \quad (1)$$

где,

$$A = \frac{e^{-\alpha\omega T}}{\omega} (\omega \cos(\omega\gamma T) + \alpha \sin(\omega\gamma T)) - e^q$$

$$B = \frac{e^{-\alpha\gamma T} \alpha^2 + \omega^2}{\omega \cdot 2\alpha} \sin(\omega\gamma T)$$

$$C = 2\alpha \frac{e^{-\alpha(2-\gamma)T}}{\omega} \sin(\omega\gamma T)$$

$$D = \frac{e^{-\alpha(2-\gamma)T}}{\omega} (\omega \cos(\omega\gamma T) - \alpha \sin(\omega\gamma T)) - e^q$$

$$X = -e^q i[0] - \frac{U}{R} \left(\frac{\alpha^2 + \omega^2}{2\alpha} \right) (1-\gamma)T \frac{e^q}{e^q - 1}$$

$$Y = -e^q i_1[0] + \frac{U}{R} \left(1 - e^{-\frac{(1-\gamma)T}{RC}} \right) \frac{e^q}{e^q - 1}$$

В пределе, когда n равно бесконечности

$$\lim_{n \rightarrow \infty} f[n] = \lim_{n \rightarrow \infty} (e^q - 1) F^*(q)$$

Решение для тока $i(t)$:

$$\begin{aligned} 2\alpha LR \cdot (e^{\alpha\gamma T} \omega - \cos(\gamma\omega T) \omega (e^{2\alpha\gamma T} + e^{2\alpha T}) + \\ \sin(\gamma\omega T) (e^{2\alpha\gamma T} - e^{2\alpha T}) \alpha) / 2e^{2\alpha\gamma T} \cos(\gamma\omega T) \alpha \omega RT (\gamma - \\ 1) + e^{2\alpha\gamma T} \alpha^2 RT (1-\gamma) \sin(\gamma\omega T) - e^{2\alpha\gamma T} \sin(\gamma\omega T) L (\alpha^2 + \\ \omega^2) + 2e^{\alpha\gamma T + 2\alpha T} \alpha R \omega T (1-\gamma) + e^{2\alpha T} \sin(\gamma\omega T) L (\alpha^2 + \\ \omega^2) \end{aligned}$$

Ток в нагрузке I_R :

$$\begin{aligned} I_R = \frac{U}{R} + \frac{U}{RL} (-e^{2\alpha\omega T} \cos(\gamma\omega T) L \omega \\ + e^{2\alpha T} \cos(\gamma\omega T) L \omega + e^{3\alpha\gamma T} L \omega \\ - 2e^{2\alpha\gamma T} \sin(\gamma\omega T) \alpha \gamma RT \\ - e^{2\alpha\gamma T} \sin(\gamma\omega T) \alpha L \\ + 2e^{2\alpha\gamma T} \sin(\gamma\omega T) \alpha RT - e^{\alpha\gamma T + 2\alpha T} L \omega \\ + e^{2\alpha T} \sin(\gamma\omega T) \alpha L) / (\omega e^{\alpha\gamma T} \\ - \omega \cos(\gamma\omega T) (e^{2\alpha\gamma T} + e^{2\alpha T}) \\ + e^{2\alpha\gamma T} \alpha \sin \gamma\omega T + \omega e^{\alpha\gamma T + 2\alpha T}) \end{aligned}$$

На рис. 4 представлен случай, когда флуктуации выходного напряжения и флуктуации тока через дроссель находятся в пределах $\pm 5\%$.

Коэффициент затухания α и период флуктуаций \tilde{T} :

$$\frac{[A_1 \times e^{2q} + A_2 \times e^q]}{[e^{2q} - 2e^q \cdot e^{-\alpha T}]} \cdot \text{csch}(\alpha(1 - \gamma)T) \cos(\omega\gamma T) + \frac{\alpha}{\omega} \sinh(\alpha(1 - \gamma)T) \sin(\omega\gamma T) + e^{-2\alpha T}$$

Из A_1 и A_2 может быть определена фаза сигнала, которая не найдена в данной работе.

После обратного преобразования Лапласа (1) получаем коэффициент затухания $\tilde{\alpha}$:

$$\tilde{\alpha} = -\alpha T$$

Период осцилляций получаем в виде:

$$\tilde{\omega}n = \arccos[\text{csch}(\alpha(1 - \gamma)T) \cos(\omega\gamma T) + \frac{\alpha}{\omega} \sinh(\alpha(1 - \gamma)T) \sin(\omega\gamma T) + e^{-2\alpha T}]$$

Период определяется из формулы $\frac{2\pi}{\tilde{\omega}n}$.

III. МОДЕЛИРОВАНИЕ В NGSPICE

Модель ngspice приведена ниже:

```
boost converter
V1 1 0 85
L1 1 2 0.102
D1 2 3 dmod
C1 3 0 0.75uF
R1 3 0 1157.76
SW 2 0 ns1 0 swm
VS1 ns1 0 pwl(0 0 .1m 0 .1m 1 .2m 1 .2m 0)r=0
.model dmod D
.model swm sw(roff=100000 ron=.00001 vt=.5 vh=.001)
.control
set color0 = white
tran .001m 14m
plot V(3), L1#branch
.endc
.end
```

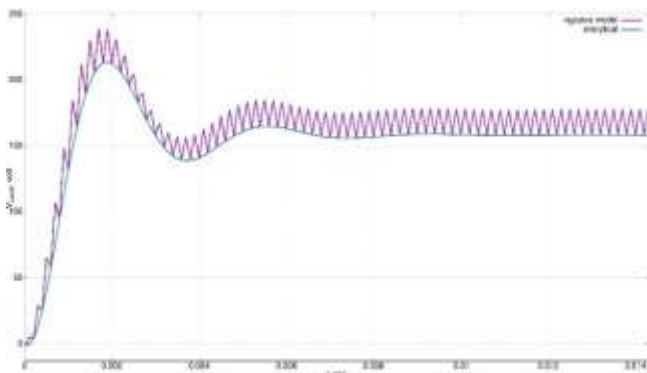


Рис. 4. Выходное напряжение V_{load} в модели ngspice

IV. МОДЕЛИРОВАНИЕ В MATLAB

MATLAB модель для повышающего преобразователя постоянного напряжения приведена на рис. 5.

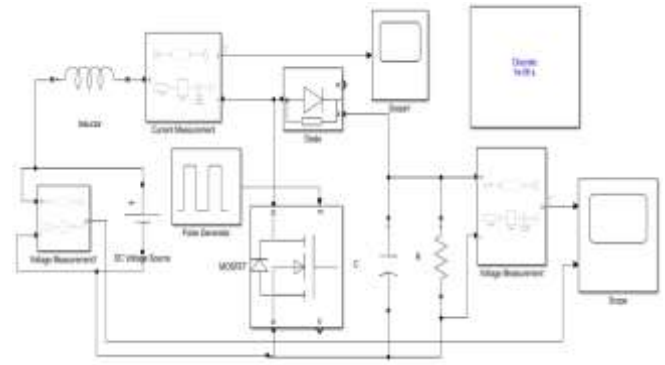


Рис. 5. MATLAB-модель для повышающего преобразователя

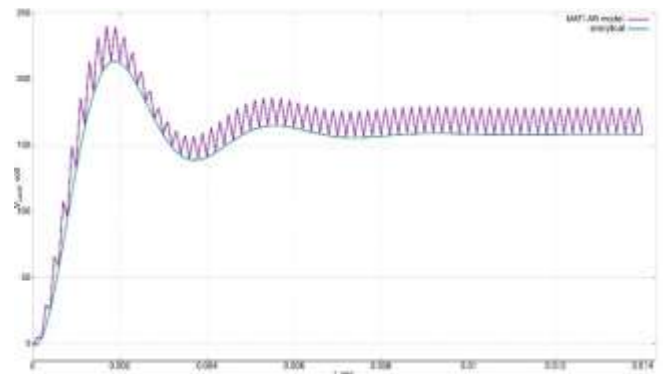


Рис. 6. Напряжение V_{load} в MATLAB-модели

V. СРАВНЕНИЕ АНАЛИТИЧЕСКОГО РЕШЕНИЯ С РЕЗУЛЬТАТАМИ МОДЕЛИРОВАНИЯ NGSPICE И MATLAB

Мы получили достаточно точное совпадение (в пределах 1%) аналитического решения для токов и результатами моделирования в ngspice и MATLAB, отметим что моделирование в MATLAB дает решение на 1–2 вольта выше чем аналитическое решение и модель в ngspice.

ТАБЛИЦА I СРАВНЕНИЕ МОДЕЛЕЙ NGSPICE И MATLAB

Параметр	ngspice	MATLAB
Выходное напряжение, V_o	168 V	169 V
Амплитуда пульсаций выходного напряжения V_o	18 V	19 V
Ток дросселя	0.29 V	0.29 V
Амплитуда пульсаций тока дросселя	0.08 V	0.08 V
Амплитуда выходного напряжения	210 V	210 V
Амплитуда тока дросселя	0.455 A	0.335 A

VI. ЗАКЛЮЧЕНИЕ

Внедрение приведенного в работе решения для повышающего преобразователя постоянного напряжения позволяет использовать в системах управления недорогих микроконтроллеров, имея в то же время достаточную точность. Сравнение моделей дает уверенность, что программа с открытым исходным кодом дает абсолютно такой же результат что и MATLAB при нулевой стоимости программы ngspice.

СПИСОК ЛИТЕРАТУРЫ

- [1] Цыпкин Я.З. Теория линейных импульсных систем, М., ГИФМЛ, 1963.
- [2] Slobodan Cuk, D. Middlebrook, Advances in Switched-Mode Power Conversion, IEEE TRANSACTIONS ON INDUSTRIAL ELECTRONICS, VOL. IE-30, NO. 1, FEBRUARY 1983.
- [3] Boris Axelrod, Yefim Berkovich, and Adrian Ioinovici, A new dynamic discrete model of DC-DC PWM converters // IAIT Journal of Science and Engineering B, Volume 2, Issues 3-4, pp. 426-451
- [4] Rajesh Kumar Reddy, S. Giri Kumar, K. Sandeep, N. Arun, LMI Control of Conventional Boost Converter // Indian Journal of Science and Technology, Feb 2015.